

**ВЛИЯНИЕ ИТТЕРБИЯ  
НА ЭЛЕКТРОФИЗИЧЕСКИЕ СВОЙСТВА  
ЭПИТАКСИАЛЬНЫХ СЛОЕВ  $n$ -GaP**

Баранский П. И., Беляев А. Е., Городничий О. П.,  
Макаренко В. Г.

Использование редкоземельных элементов (РЗЭ) при выращивании эпитаксиальных слоев (ЭС) GaP позволило получить пленки с разностной концентрацией примесей ( $N_D - N_A \approx 10^{16}$  см $^{-3}$ ) и подвижностью электронов при 77 К больше 10 $^3$  см $^2$ /В·с [1]. В качестве РЗЭ был использован иттербий (Yb), вводившийся в раствор-расплав в количестве  $\sim 10^{-1}$  ат% перед началом процесса эпитаксии. ЭС осаждались на подложки из полуизолирующего GaP:Fe с удельным сопротивлением более 10 $^7$  Ом·см. Сравнительно низкие температуры процесса эпитаксии (начало — 920 °C, окончание — 850 °C) способствовали тому, что структура ЭС была достаточно совершенной, о чём свидетельствует величина подвижности, почти вдвое превышающая подвижность электронов в обычных объемных образцах.

Получение таких кристаллов открывает широкие возможности для их

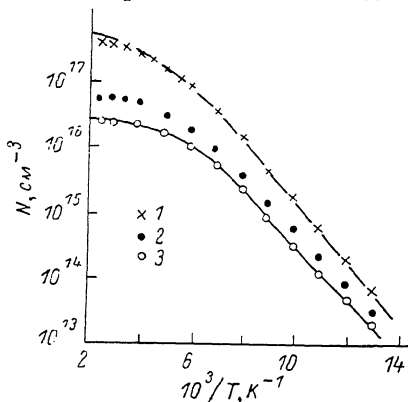


Рис. 1. Температурные зависимости концентрации свободных носителей в эпитаксиальных слоях  $n$ -GaP.  
Содержание Yb · 10 $^2$ , ат%: 1 — 0, 2 — 1.6, 3 — 6.4. Сплошные линии — расчет.

Содержание Yb · 10 $^2$ , ат%: 1 — 0, II — 6.4. Сплошные линии — расчет. ( $\gamma I \approx 2.5 A$ ) · 10 $^{-16}$ , см $^{-3}$ : 1 — 3.8, 2 — 1.8. Штрихпунктирные линии — расчет для каждого из рассматриваемых механизмов рассеяния.

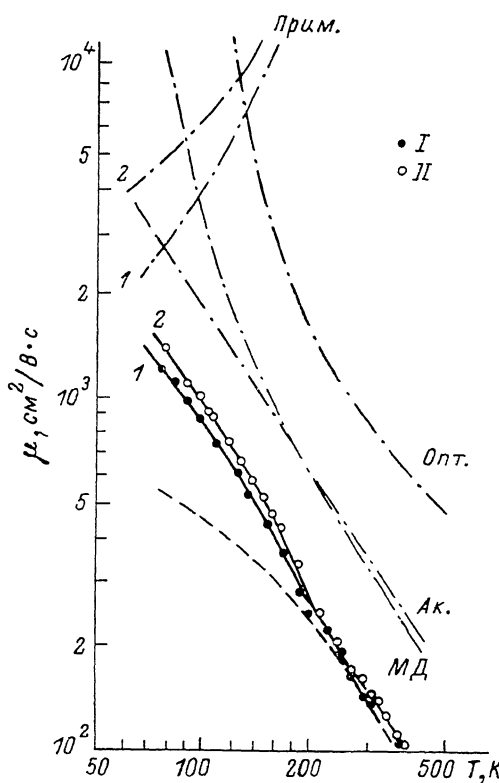


Рис. 2. Температурные зависимости подвижности электронов в эпитаксиальных слоях  $n$ -GaP.

Содержание Yb · 10 $^2$ , ат%: I — 0, II — 6.4. Сплошные линии — расчет. ( $\gamma I \approx 2.5 A$ ) · 10 $^{-16}$ , см $^{-3}$ : 1 — 3.8, 2 — 1.8. Штрихпунктирные линии — расчет для каждого из рассматриваемых механизмов рассеяния.

практического использования в различных областях твердотельной электроники. В то же время даже результаты исследований объемных кристаллов, в которые Yb вводился с помощью имплантации, до сих пор не позволяют сделать однозначного вывода о том, за счет чего происходит уменьшение разностной концентрации примесей: из-за появления дополнительных акцепторных состояний [2] или же благодаря уменьшению количества электрически активных доноров [3]. Последнее в случае ЭС может происходить при геттерировании примесей на атомах РЗЭ еще в растворе-расплаве (в котором атомы РЗЭ могут

образовывать химически стойкие соединения с донорными примесями, выводя их из области кристаллизации в виде шлаков, таким образом уменьшая их концентрацию в ЭС).

В работе представлены результаты исследований электрофизических свойств ЭС  $n$ -GaP, выращенных из раствора-расплава с различным содержанием Yb (от 0 до 0.1 ат%). На рис. 1 приведены температурные зависимости концентрации свободных носителей  $n_e = (ecR_x)^{-1}$  ( $R_x$  — измеряемый коэффициент Холла) в диапазоне  $77 \leq T \leq 450$  К. Видно, что наличие в расплаве даже небольшого количества Yb ( $\sim 1.6 \cdot 10^{-2}$  ат%) приводит к снижению ( $N_D - N_A$ ) почти на порядок, а при содержании Yb приблизительно 0.1 ат% тип проводимости ЭС претерпевает инверсию ( $n \rightarrow p$ ). Замечено, что до наступления инверсии типа проводимости энергия ионизации донорных примесей  $E_D$ , определяемая в области низких температур по наклону прямой  $\ln(nT^{3/2}) = f(T^{-1})$ , уменьшается. Такое уменьшение  $E_D$  можно было бы связать с возрастанием концентрации акцепторов  $N_A$  в ЭС с Yb, о чем говорилось в [4]. Если это так, то существенное увеличение рассеивающих заряженных центров должно заметно уменьшить подвижность электронов при низких температурах. Поэтому на тех же образцах в том же диапазоне  $T$  были измерены зависимости  $\mu(T) = R_x(T) \circ (T)$ , приведенные на рис. 2. Видно, что введение Yb в раствор-расплав не уменьшает величину подвижности электронов в ЭС (в области 77 К). Так как в низкотемпературном интервале концентрация заряженных рассеивающих центров в  $n$ -GaP практически определяется концентрацией компенсирующей примеси и равна  $2N_A$ , можно было, совмещая в этой области  $T$  расчетные и измеренные значения  $\mu$ , независимым способом оценить величину  $N_A$ . В случае  $N_{Yb} = 0$  для ЭС  $n$ -GaP получено  $N_A = (1.9 \pm 0.1) \cdot 10^{16}$  см $^{-3}$ , а в случае  $N_{Yb} = 6.4 \cdot 10^{-2}$  ат% —  $N_A = (0.9 \pm 0.1) \cdot 10^{16}$  см $^{-3}$ . Это позволяет сделать вывод о том, что введение в раствор-расплав атомов иттербия не приводит к увеличению акцепторных центров в ЭС  $n$ -GaP.

При таких обстоятельствах объяснить наблюдаемое на опыте уменьшение наклона прямой  $\ln n_e = f(T^{-1})$  в области низких температур посредством учета доноров лишь одного типа оказалось невозможным. Отметим, что исследуемые ЭС донорами специально не легировались. Тем не менее в них, как показывает опыт, всегда существуют остаточные донорные примеси, концентрация которых может доходить до  $\sim 10^{17}$  см $^{-3}$ . При используемой технологии это скорее всего S и Si, так что получаемое из эксперимента значение  $E_D$  может быть результатом совместного проявления процессов ионизации электронов одновременно с двух уровней. В этом случае уменьшение наклона прямой  $\ln n_e = f(T^{-1})$  при введении Yb в раствор-расплав следует связать с уменьшением концентрации более глубокой примеси (в данном случае S). Был проведен расчет температурной зависимости концентрации свободных носителей для двух типов донорных и одного акцепторного уровней по формуле

$$\begin{aligned} n^3 + n^2 \left\{ N_A + N_c^* T^{3/2} \left[ \frac{1}{g_1} \exp \left( -\frac{E_{D_1}}{kT} \right) + \frac{1}{g_2} \exp \left( -\frac{E_{D_2}}{kT} \right) \right] \right\} + \\ + n T^{3/2} \left\{ N_c^* N_A \left[ \frac{1}{g_1} \exp \left( -\frac{E_{D_1}}{kT} \right) + \frac{1}{g_2} \exp \left( -\frac{E_{D_2}}{kT} \right) \right] - N_c^* \left[ \frac{N_{D_1}}{g_1} \exp \left( -\frac{E_{D_1}}{kT} \right) + \right. \right. \\ \left. \left. + \frac{N_{D_2}}{g_2} \exp \left( -\frac{E_{D_2}}{kT} \right) \right] + \frac{N_c^{*2} T^{3/2}}{g_1 g_2} \exp \left( -\frac{E_{D_1}}{kT} \right) \exp \left( -\frac{E_{D_2}}{kT} \right) \right\} = \\ = \frac{N_c^{*2} T^3}{g_1 g_2} \exp \left( -\frac{E_{D_1}}{kT} \right) \exp \left( -\frac{E_{D_2}}{kT} \right) (N_{D_1} + N_{D_2} - N_A). \end{aligned}$$

Здесь приняты следующие обозначения:  $N_c^* = 2.863 \cdot 10^{15}$  см $^{-3}$  — приведенная плотность состояний в  $c$ -зоне с учетом спинового вырождения ( $g=2$ ), многодлинности ( $v=3$ ) и анизотропии эффективных масс ( $m_\perp^* = 0.25 m_0$ ,  $m_{||}^* = 2.5 m_0$ ),  $g_1$  и  $g_2$  — факторы вырождения основного состояния доноров (для S  $g_1=1$ , для Si  $g_2=3$ ),  $N_{D_1}$ ,  $N_{D_2}$ ,  $E_{D_1}$ ,  $E_{D_2}$  — концентрация и энергия ионизации основного состояния доноров. Вклад возбужденных состояний не учитывался. Для нахождения  $n_e$  использовалось приближенное (с точностью 1 %) вычисление корня полинома 3-й степени методом бисекции интервала.

Содержание Yb в растворо- ре-расплаве: $\times 10^2$ , ат%	$N_A \cdot 10^{-10}$ , $\text{см}^{-3}$	$N_{D_1} \cdot 10^{-10}$ , $\text{см}^{-3}$	$E_{D_1} \cdot 10^3$ , эВ	$N_{D_2} \cdot 10^{-10}$ , $\text{см}^{-3}$	$E_{D_2} \cdot 10^3$ , эВ
0	$1.9 \pm 0.1$	$47 \pm 1$	$94 \pm 2$	$2.0 \pm 0.1$	$72 \pm 2$
6.4	$0.9 \pm 0.1$	$1.7 \pm 0.1$	$94 \pm 2$	$2.0 \pm 0.1$	$72 \pm 2$

Как уже говорилось, значения  $N_A$  определялись из сравнения теоретических и экспериментальных данных по подвижности. Если учесть, что  $(N_{D_1} + N_{D_2} - N_A)$  определяется в эксперименте по насыщению зависимости  $n_e (T^{-1})$  в области высоких температур, то остаются три независимых свободных параметра —  $E_{D_1}$ ,  $E_{D_2}$  и  $N_{D_1}$  (или  $N_{D_2}$ ). Результаты расчета представлены на рис. 1 сплошными линиями (значения основных использованных параметров сведены в таблицу), которые достаточно хорошо согласуются с экспериментальными данными. Характерно, что полученные из расчета энергии ионизации основного состояния доноров 1 и 2 совпадают с энергиями ионизации серы и кремния, определенными в [4–6], что является дополнительным подтверждением правильности сделанного нами выбора относительно типа донорных примесей. Проведенный анализ позволил сделать еще один вывод о том, что введение в раствор-расплав атомов Yb существенно уменьшает в ЭС  $n$ -GaP концентрацию атомов серы, мало изменяя концентрацию атомов кремния (см. таблицу).

Рассмотрим теперь более подробно зависимость  $\mu (T)$ . На рис. 2 штриховой линией изображена температурная зависимость подвижности, измеренная на объемном образце с той же разностной концентрацией ( $N_D - N_A$ ), что и в ЭС  $n$ -GaP, полученных в условиях  $Yb=0$ . Видно, что если в области преобладания фононных механизмов рассеяния значения подвижности в объемном образце и в ЭС совпадают, то в области низких температур подвижность в ЭС заметно выше (при 77 К примерно в 2 раза). Это свидетельствует о меньшем количестве неконтролируемых примесей, и прежде всего акцепторов, в ЭС. В работе [7] был проведен расчет  $\mu (T)$  в  $n$ -GaP при учете как упругих (акустическое и кулоновское), так и неупругих (полярное оптическое и междолинное) механизмов рассеяния. Однако авторам [7] удалось согласовать теоретические и экспериментальные значения подвижности в области 77–100 К не удалось. Причиной этого могли быть два обстоятельства: 1) измеренные в [7] объемные кристаллы  $n$ -GaP содержали большое количество неконтролируемых примесей ( $2N_A > 5 \cdot 10^{17} \text{ см}^{-3}$ ), что не позволило достаточно точно определить радиус экранирования ионов; 2) расчет междолинного и акустического механизма рассеяния был выполнен без учета их анизотропии, так как необходимая в этом случае константа деформационного потенциала  $\Xi_d$  была неизвестна. Ее значение было определено нами в более поздней работе [8]:  $\Xi_d = -15.8 \pm 4.4$  эВ.

В данной работе эти трудности были преодолены, и совпадение расчетных и экспериментальных значений  $\mu$  при учете одних и тех же механизмов рассеяния во всем диапазоне температур оказалось вполне удовлетворительным для ЭС GaP, полученных из раствора-расплава как с Yb, так и без него. Это может служить аргументом в пользу того, что геттерирование примесей атомами иттербия происходит еще в растворе-расплаве. В противном случае появление примесных комплексов в ЭС неминуемо привело бы к заметным изменениям характера зависимости  $\mu (T)$ , что противоречит полученным нами результатам.

В заключение отметим, что использование более совершенных образцов  $n$ -GaP и учет анизотропии рассеяния на акустических фононах позволили уточнить параметры существующего в этих кристаллах междолинного рассеяния. Оказалось, что совместить экспериментальные и расчетные значения  $\mu$  при  $T \geq 300$  К можно только для междолинного фонона с  $T_\phi = 150$  К. При этом константа связи электронов с этим междолинным фононом равна  $D = 0.3 \cdot 10^9$  эВ/см.

## Л и т е р а т у р а

- [1] Касаткин В. А., Макаренко В. Г., Сидоров В. Г., Целищева Н. С., Шлихтов С. Н. Получение GaP без электрических активных кислорода. — Электрон. техн., сер. 6, Материалы, 1983, в. 5 (178), с. 29—31.
- [2] Ennen H., Schneider J. — Proc. 13 Int. Conf. Def. Semicond. California, 1984, p. 115—127.
- [3] Касаткин В. А., Кесаманлы Ф. П., Мастеров В. Ф., Романов В. В., Саморуков Б. Е. Влияние примесей лантаноидов на свойства GaP. — Изв. АН СССР, Неогр. матер., 1980, т. 16, в. 11, с. 1901—1905.
- [4] Podor B., Pfeifer J., Csontos L., Nador N., Deak F. — Phys. St. Sol. (a), 1983, v. 76, N 2, p. 695—704.
- [5] Siegel W., Kühnel G. — Phys. St. Sol. (a), 1984, v. 84, N 1, p. 251—262.
- [6] Hara T., Akasaki I. — J. Appl. Phys., 1968, v. 39, N 2, p. 285—290.
- [7] Барабанский П. И., Беляев А. Е., Городничий О. П., Сытлина Н. Г., Томчук П. М. О механизмах рассеяния в фосфиде галлия. — ФТП, 1979, т. 13, в. 3, с. 488—493.
- [8] Беляев А. Е., Городничий О. П., Пидлусный Е. В. Величина отношения констант деформационного потенциала в кристаллах *n*-GaP. — ДАН УССР, сер. А, 1981, № 7, с. 54—57.

Институт полупроводников  
АН УССР  
Киев

Получено 27.04.1987  
Принято к печати 2.06.1987

*ФТП, том 22, вып. 1, 1988*

### ПРИРОДА ПРИМЕСНЫХ СОСТОЯНИЙ, ОБРАЗУЕМЫХ ПЕРЕХОДНЫМИ МЕТАЛЛАМИ (ЖЕЛЕЗОМ И ЕВРОПИЕМ) В АМОРФНОМ ГИДРИРОВАННОМ КРЕМНИИ

Регель А. Р., Серегин П. П., Мездрогина М. М., Наирединов Ф. С.,  
Аблова М. С., Абдуманапов У. Ж.

Проблема легирования аморфного гидрированного кремния *a*-Si(H) давно привлекает внимание исследователей [1]. Основным методом, приводящим к эффективному изменению электрических свойств *a*-Si(H), является легирование из газовой фазы [2]. В настоящей работе приводятся результаты по легированию *a*-Si(H) переходными металлами (железом, европием) методом распыления.

Образцы были получены высокочастотным совместным распылением моно-кристаллической кремниевой мишени и мишени из металлического железа (или европия) в газовой смеси гелия, аргона и силана [3]. Температура подложки была 250, 300 и 380 °C. Концентрация металла составляла 0.1 ат%, концентрация водорода — 15 ат%. Темновая проводимость  $\sigma_t$  и фотопроводимость  $\sigma_f$  определялись в планарной геометрии. Фотопроводимость измерялась при 295 K при освещении светом с интенсивностью  $4 \cdot 10^{17}$  фот/см<sup>2</sup>·с и длиной волны 0.65 мкм. Положение края оптического поглощения определялось при 295 K. Мессбауэровские спектры примесных атомов <sup>57</sup>Fe и <sup>151</sup>Eu измерялись при 295 и 80 K с источниками <sup>57</sup>Co в палладии и <sup>151</sup>Sm<sub>2</sub>O<sub>3</sub>.

Параметры электропроводности *a*-Si(H)

Состав образцов	$T_s$ , °C	$E_g$ , эВ	$\sigma_{t, \text{см}^{-1}}$	$\sigma_{f, 295, \text{см}^{-1}}$
<i>a</i> -Si(H)	380	0.58	280	$3.4 \cdot 10^{-8}$
<i>a</i> -Si(H)+Fe	380	0.80	320	$1.9 \cdot 10^{-11}$
<i>a</i> -Si(H)+Eu	380	0.20	0.56	$5.0 \cdot 10^{-3}$
<i>a</i> -Si(H)	300	0.71	1300	$6.3 \cdot 10^{-10}$
<i>a</i> -Si(H)+Fe	300	0.69	89	$9.5 \cdot 10^{-11}$
<i>a</i> -Si(H)+Eu	300	0.56	320	$5.0 \cdot 10^{-7}$
<i>a</i> -Si(H)	250	0.70	180	$1.5 \cdot 10^{-10}$
<i>a</i> -Si(H)+Fe	250	0.69	200	$1.9 \cdot 10^{-10}$
<i>a</i> -Si(H)+Eu	250	0.68	1300	$1.0 \cdot 10^{-9}$